

金沢工業大学 正員 齋藤 满  
 金沢大学 正員 沢場重正  
 金沢大学 正員 川村謙紀

## 1. 目的

コンクリートの基本的な力学的性質として引張強度特性は重要である。コンクリートの引張強度を求めるには、純引張試験または試験方法そのものに煩雑さを有することから圧裂試験によるのが一般的である。しかしながらコンクリートの圧裂引張強度( $J_s$ )が純引張強度( $J_t$ )と必ずしも常に一致しないことが多數報告され、これらの報告を一律に扱うことには問題があるものの、大局的には準巨視的レベルでは均等質と考えられるモルタルでは $J_s$ と $J_t$ がほぼ等しく、コンクリートでは粗骨材の容積比あるいは最大寸法が大きくなると $J_s$ と $J_t$ の相異が大きくなる傾向が見うけられる。以上のような傾向およびコンクリートを均等質であると仮定することより引張強度を算出していることを考慮すると、 $J_s$ と $J_t$ の強度差は単なる実験条件のみに起因すると考えるよりむしろコンクリートが複合化に起因する可能性が考えられる。以上の観点より、本報告ではモデルコンクリートを用い、これによる実験および解析結果よりコンクリートの複合性が純引張および圧裂引張強度特性に及ぼす影響を検討する。

## 2. 方法

《モデル供試体》マトリックスの使用材料および配合は文献(1)に示すとおりである。供試体形状、インクルージョン位置および境界変位測定位置を図-1に示す。供試体は普通および軽量コンクリートをモデル化しており、インクルージョン・マトリックス界面の付着力のシリーズを含めて12種類を作成した。供試体の記号と内容を表-1に示す。なお、普通および軽量骨材に相当するモデル骨材はそれぞれ鋼材およびカオリンを使用したプラスチックソイルメントである。《F.E.M.解析》インクルージョンおよびマトリックスのクラック発生および進展(鋼材インクルージョンを除く)は各部の最大主応力がある値に達したときに生ずるものとし、マトリックスでは3.18 kg/mm<sup>2</sup>、軽量インクルージョンでは17.1 kg/mm<sup>2</sup>に達したときとした。クラックの方向は最大主応力方向と直角をなし、要素は最大主応力方向の応力と剪断応力を伝達しないよう剛性が修正される。その後クラックと平行な方向の引張応力が先の引張強度を越えたとき、再びこの要素は破壊し全応力を伝達しなくなる。界面の破壊としては、界面に付着力を有するシリーズでは普通および軽量コンクリートとともに文献(2)に示すモール・ワーロン理論による条件によりクラックが生じ、

表-1 モデル供試体の種類と記号

記号	モデル	内 容
圧裂シリーズ	純引張シリーズ	インクルージョン
SA	DA	鋼材
SAL	DAL	軽量
SG	DG	鋼材
SGL	DGL	軽量
SC	DC	—
S	D	—

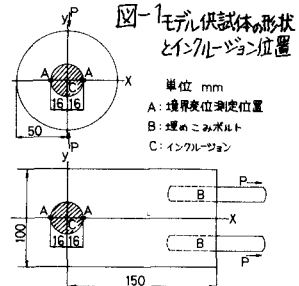
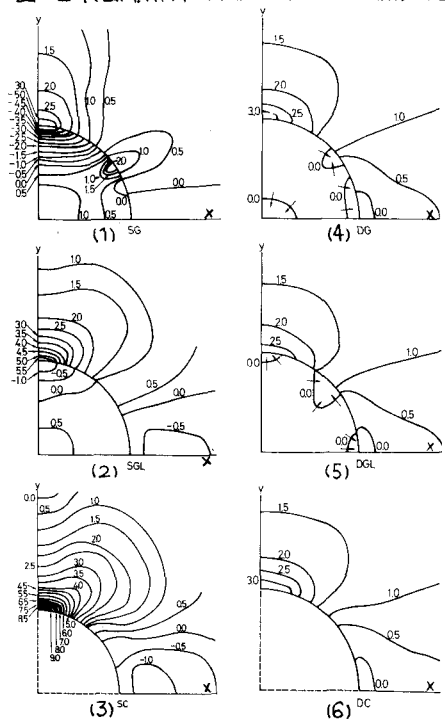


図-2 F.E.M. 解析による最大主応力の分布(引張が正)



進展する。界面の付着力が0のシリーズでは当初界面の付着が完全であるとして解析し、全ての境界要素の法線方向応力の正負を判定し、正の場合には文献(2)の引張応力-剪断応力による破壊が、負の場合には圧縮応力-剪断応力による破壊があらかじめ生じるとして解析を続ける。

### 3. 結果および考察

《モデル供試体の応力分布》F.E.M.解析より、インクルージョンの存在による応力分布の乱れが見られ、一般に圧裂と純引張という載荷条件の相異により応力分布が大きく異なる。図-2は応力分布の代表例を示す。純引張載荷ではインクルージョンの弾性係数が普通骨材、軽量骨材、空洞と変化するとともに、マトリックス中の引張応力集中度はほとんど変化を生じないが、圧裂載荷では弾性係数が大より小へと変化するにつれて引張応力の集中度が急激に大きくなる。界面の付着力が0のシリーズでは特に供試体中の応力分布と引張強度が直接に結びつく可能性の強いことから、この結果は載荷条件が異なると引張強度に相異を生ずる可能性を示している。

《界面の境界変位》境界変位<sup>1)</sup>の実測より得たボンドクラック発生開始荷重(Pb)および破壊直前のクラック幅(D99)を表-2に示す。界面の付着の良好なシリーズでは載荷条件の相異によりPbおよびD99は明らかに相異し、界面の付着力が0のシリーズでは両者がほぼ一致している。《クラック進展状況》F.E.M.解析によるクラック進展状況とモデル供試体の最終的な破壊状況は一般によく一致する(図-3と図-4参照)。クラックは一般にインクルージョン側より進展し、付着の良好なシリーズにおいて載荷条件の相異による最終的な破壊状況に相異が見られる。《DsとDtの比較》表-3は実験および解析より得た引張強度を示す。実験、解析双方によるDs/DtはDALとSALの比を除くは良く一致している。準巨視的レベルでは均等箇と考えられるSにおいてDsとDtの実験値はほぼ等しい。また、圧裂、純引張載荷双方につき、引張応力集中度およびPb、D99、クラック進展状況などの破壊挙動が全てほぼ等しいSGとDGにおけるDsとDtの実験値および解析値はともにほぼ等しい。その他のシリーズでは上述の応力分布および破壊挙動の全あるいは一部が相異しており、実験および解析結果ともDsとDtの間に相異が見られる。

応力分布および破壊挙動の状況、これらとDs/Dtの関係および從来考えられてきたDsとDtの強度差の理由の検討から、コンクリートの複合性がDsとDt間の差異に影響を及ぼす有力な原因の一つであると考えられる。

文献1) 加場川村・齊藤:土論報集, 第283号, 1975.<sup>2)</sup> 齊藤・加場・川村:講稿集, 1976.

表-2 ボンドクラック発生荷重(Pb)と破壊直前のクラック幅(D99)

圧 裂 試 験		純 引 張 試 験		
シリーズ	ボンドクラック発生荷重 Kgf	直前荷重 Kgf	ボンドクラック発生 クラック幅 μm	
SA	584 (1.2)	6.5 ~ 7.5 DA	5.71 (5.7)	2.5 ~ 4.0
SAL	-	0.0	DAL (1.7)	1.5 ~ 4.5
SG	0 (0.0)	6.5 ~ 7.5 DG	0 (0.0)	5.5 ~ 7.0
SGL	0 (0.0)	2.0 ~ 6.0 DGL	0 (0.0)	2.5 ~ 4.5

( ): 広さ μm/cm

表-3 実験およびF.E.M.解析による引張強度と強度比

圧 裂 試 験		純 引 張 試 験		強度比	
シリーズ	引張強度 kgf/cm <sup>2</sup>	変動係数 %	シリーズ	引張強度 kgf/cm <sup>2</sup>	変動係数 %
E	27.2	6.3	DA	21.9	7.0
SA	20.7	11.7	DAL	23.4	6.3
AL	19.8	13.8	DG	18.9	9.6
供 試 體	9.6	3.2	DGL	19.0	5.5
S	7.9	4.7	DC	18.7	7.3
SC	32.7	4.1	D	31.8	4.5
F	SA 13.4	—	DA 107	—	0.80
E	SAL 9.6	—	DAL 17.2	—	1.79
M	SG 9.6	—	DG 102	—	1.06
解 析	SGL 5.2	—	DGL 10.8	—	2.08
S	3.6	—	DC 9.2	—	2.56

図-3 F.E.M.解析によるクラック進展状況の代表例

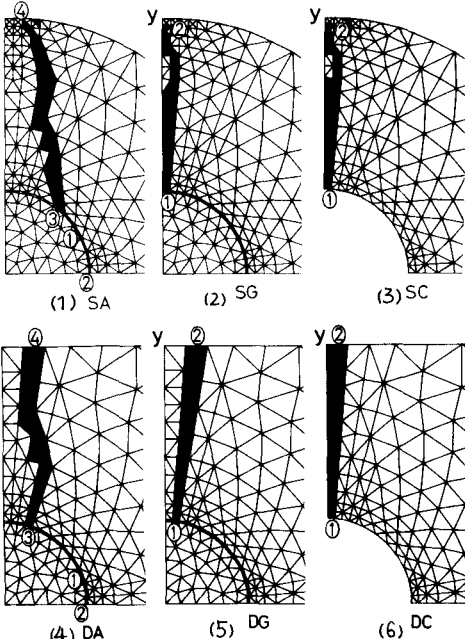


図-4 最終的な破壊状況の概略図

